论著

多层螺旋CT多期增强扫描在诊断肾癌中的应用研究

南京鼓楼医院集团宿迁市人民医院 影像科 (江苏 宿迁 223800)

王全永

【摘要】目的 探计多层螺旋CT多期增强 扫描诊断肾癌的应用价值。方法 回顾 性分析2013年4月-2015年5月我院48例 经手术病理证实为肾癌的CT平扫及多期 增强扫描的影像资料,并与临床病理对 照。结果 CT诊断肾癌分期总准确率为 89.58%(43/48); 动脉期扫描CT值明显高 于平扫及实质期, 平扫、实质期扫描组 间比较差异有统计学意义(P<0.05)。CT 扫描显示43例病灶突出肾轮廓外,5例局 限于肾轮廓内。平扫密度较为复杂,2例 出血表现为高密度影,5例伴随囊变、出 血,4例钙化。动脉期均有不同程度中度 强化和明显强化,40例动脉期增强后可 见清晰边界,28例可见假包膜,17例可 见"短刺"征; 肾实质期扫描,强化程 度明显减弱,静脉期强化程度进步一减 弱。 **结论** 多层螺旋CT多期增强扫描在诊 断肾癌及分期中具有较高的应用价值。

【关键词】肾癌; 体层摄影技术; X线计算机; 多期扫描

【中图分类号】R737.11; R445.3 【文献标识码】A

DOI: 10.3969/j.issn.1672-5131.2016.12.029

通讯作者: 王全永

Study on Application of Multisliecs Helieal CT Multiphase Enhanced Scan in the Diagnosis of Renal Cell Carcinoma

WANG Quan-yong. Department of Medical Imaging, Suqian People's Hospital of Najing Tower Hospital Group, Suqian 223800, Jiangsu Province, China

[Abstract] Objective To explore application value of multisliecs helieal CT multi phase enhanced scan in the diagnosis of renal cell carcinoma. *Methods* A retrospective analysis of imaging data of CT scan and multiphase enhanced scan was carried out in 48 patients with renal cell carcinoma confirmed by operation and pathology in our hospital from April 2013 to May 2015, the results were compared with clinical and pathological data. Results Total accuracy rate of CT in the diagnosis of renal cell carcinoma staging was 89.58% (43/48). CT arterial phase scanning CT value was significantly higher than plain scan, parenchymal phase scanning, there was a significant difference in plain scan, parenchymal phase scanning in these groups (P<0.05). CT scan showed that 43 cases had prominent renal contour lesions, and lesions in 5 cases were confined to the renal contour. Plain scan density was more complex, 2 cases of hemorrhage showed high density shadow, 5 cases were complicated with cystic change, hemorrhage, 4 cases of calcification. There were moderate enhancement and obvious enhancement in different degrees in arterial phase, clear boundary could be seen in 40 cases after enhancement in arterial phase, pseudocapsule could be seen in 28 cases, close needling sign in 17 cases, enhancement degree was significantly reduced in kidney parenchymal phase scan, enhancement degree in venous phase was further reduced. *Conclusion* Multisliecs helieal CT multiphase enhanced scan has higher application value in the diagnosis and stage of renal cell carcinoma.

[Key words] Renal Cell Carcinoma; Tomography Technology; X–ray Computer; Multiphase Scanning

肾细胞癌(后文中均简称肾癌)是常见的恶性肿瘤之一,占原发肾脏恶性肿瘤的80%~90%,位居泌尿外科肿瘤的第二位[1]。据统计,1/4~1/3肾癌病人存在肿瘤转移,是患者死亡的主要原因之一^[2]。手术是临床治疗肾癌的有效手段,早期肾全切术后5年生存率高达90%^[3]。MSCT具有成像速度快、扫描范围大,其多期扫描技术可清楚显示肾癌在增强各期强化特点,能提高对小肾癌、不典型肾癌的检出率,了解病灶与周围组织的关系,指导临床确定治疗方案。对此,本文回顾性分析48例肾癌患者CT平扫及多期扫描资料,并与临床病理对照,现报告如下。

1 资料与方法

- 1.1 **临床资料** 选取2013年4月~2015年5月医院48例经手术病理证实为肾癌的患者作为研究对象,男性35例,女性13例,年龄22~76岁,平均(51.29±4.08)岁;瘤体瘤径为1.3~12.6cm,平均(5.14±3.28)cm。21例左肾,27例右肾。临床症状:36例血尿,16例腰痛,7例腹部包块,5例发热,6例无症状体检发现。病理类型:39例透明细胞癌,6例乳头状癌,2例嫌色细胞癌,1例多房囊性肾细胞癌。
- 1.2 方法 48例患者均行CT平扫和多期增强扫描。仪器为西门子 Siemens Somatom definition 64 AS+螺旋CT扫描机。扫描前常规禁食8h,CT扫描前30min口服3%泛影葡胺对比剂800~1000mL。先行CT平

扫,再经肘静脉注射300mg I/mL的非离子型对比剂(碘海醇)90mL行多期增强扫描,速率为3m1/s,注射对比剂后20~25s行动脉期扫描,60~90s后行实质期扫描,3~5min行静脉期扫描。扫描参数:管电压120kV,管电流300mA,层厚5mm,扫描期间嘱咐患者在平静呼吸状态下屏气。

1.3 **图像分析** 扫描后将图像传输至后处理工作站,采用多平面重建(MPR)、容积再现(VR)等技术进行图像重建。由2名经验丰富的放射科医师观察图像,了解肿瘤的部位、大小、形态、钙化情况、有无"分叶"征、与周围组织的关系等,多期扫描时病灶的特点、强化情况。意见不一致处经讨论达成统一意见。

1.4 统计学方法 采用统计学软件SPSS19.0处理数据,计数资料采用%表示,采用Fisher确切概率法检验,将CT分期结果与手术病理结果对照,数据采用Kappa一致性检验,Kappa>0.75%诊断一致性极好,0.40<Kappa<0.75诊断一致性好,0<Kappa<0.40诊断一致性较差;计量资料采用 $(\bar{x}\pm s)$ 表示,多组间比较采用单因素方差分析,组间两两对比采用t检验。以P<0.05为差异具有统计学意义。

2 结 果

- 2.1 肾癌CT检查分期与手术病理TNM分期对比 以手术病理作为"金标准", CT诊断肾癌分期总体准确率为89.58%(43/48),见表1。
- 2.2 肾癌患者平扫及增强扫描后平均CT值比较 CT动脉期扫描CT值明显高于平扫及实质期,平扫、实质期扫描组间比较差异有统计学意义(P<0.05),见表2。

2.3 CT平扫及多期扫描肾癌 的影响学表现 形态及边界:本 组48例患者经CT扫描后均可见影 像学异常, 共48个病灶, 其中35 呈个类圆形,13个呈不规则形; 43例病灶突出肾轮廓外(图1),5 例局限于肾轮廓内。11例病灶与 肾实质无清晰边界, 其中7例为等 密度小灶, 4例病灶较大, 其余37 例与肾实质边界清晰。密度:平 扫显示25例呈等密度,12例呈略 低密度(图4),9例呈略高密度,2 例呈混杂密度。2例出血表现为高 密度影,5例伴随囊变、出血。4 例钙化,呈斑点、弧线、无定形 片状分布。强化特点: 48例动脉 期均有不同程度的中度至明显强 化,40例动脉期增强后可见清晰 边界, 出血、坏死、囊变及钙化 部位无明显强化(图2)。22例肿瘤 边缘清晰,26例肿瘤边缘模糊或 有分叶征; 28例可见假包膜(图 5), 17例可见"短刺"征。肾实 质期扫描,强化程度明显减弱, 39例呈低密度,边界清晰(图3), 6例呈略低密度,3例呈等密度, 呈"快进快退"改变;静脉期扫 描强化程度进步一减弱(图6)。范 围: 12例累及肾薄膜或脂肪间隙 模糊,5例腰大肌脂肪层模糊或消 失,1例侵犯肾上腺,1例侵犯肝 脏。2例肾门区淋巴结肿大,1例

表1 肾癌CT检查分期与手术病理TNM分期对比

CT分期	手术病理TNM分期				合计
	I	II	III	IV	
I	19	1	0	0	20
II	2	12	1	0	15
III	0	1	7	0	8
IV	0	0	0	5	5
合计	21	14	8	5	48

注: Kappa=0.81

表2 肾癌患者平扫及增强扫描后平均CT值比较

扫描时相	平均CT值(HU)
平扫	32.15 ± 8.69
动脉期	85.39 ± 31.29
实质期	61.85 ± 22.64
F	31. 262
P	0.000

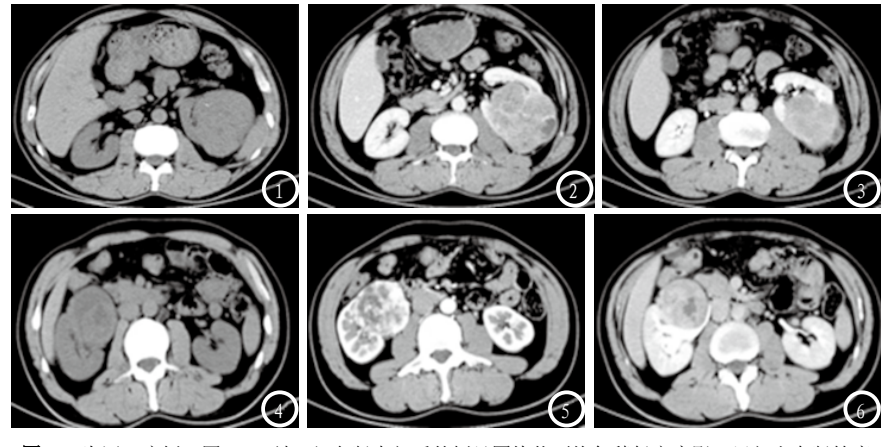


图1-3 为同一病例,图1 CT平扫示 左肾中部后外侧见团块状不均匀稍低密度影,局部突向肾轮廓外,其内见斑点状钙化;图2 CT增强扫描动脉期示病变呈不均匀条片状较明显强化,其内见散在斑片状低密度无强化影;图3 CT增强扫描实质期示病变呈低密度强化,内见斑片状更低密度强化影。图4-6 为同一病例,图4 右肾类圆形占位,直径约4.5cm,边界较光整,内见片状稍低密度影图5 CT增强扫描动脉期示 病变呈较明显不均匀强化,内部见多发斑片状低密度强化灶,病灶周围可见较光整包膜;图6 上述病变呈低密度强化,内见片状低密度坏死无强化灶,边缘光整,右侧肾盂弧形受压。

胸腔转移,1例肺转移。

3 讨 论

肾癌是临床较为常见泌尿系 恶性肿瘤之一, 占全身肿瘤发 病率的3%,各国报道不一[4]。目 前,临床诊断肾癌的影像学方法 较多,如超声、MRI、CT等,其中 超声在诊断肾囊性病变中具有一 定优势, 但图像分辨率较低, 在 临床诊断肾实质性肿瘤中存在局 限性。MRI具有软组织分辨率高的 特点,可明确病变范围、病灶与 周围组织的关系等,然而受肠蠕 动影响, 且耗时大、费用高。CT 具有操作简便、无创、扫描范围 大等优势, 尤其多期增强扫描的 应用,可明确肿瘤的范围、与周 围组织的关系、钙化情况, 可提 高对肾癌尤其是小肾癌(≤3cm) 的诊出率,便于临床早期干预治 疗。

CT诊断肾癌的影像学主要有 以下特点:可见圆形、类圆形或 不规则形软组织肿块, 部分有 "分叶"征、"短毛刺"征,且 与肾周筋膜相连; 部分患者存在 坏死、囊变、钙化等, 肿瘤密度 不均,该征象往往提示肾周脂肪 组织受侵犯;③皮质期有不同程 度的强化,密度低于正常肾实 质,是CT增强扫描诊断肾癌的重 要影像学特征之一; ④钙化是诊 断恶性肿瘤的重要可靠指征;对 于瘤体直径≤3cm的肿瘤,CT征象 往往表现为肾轮廓正常, 大部分 边界清晰,有假包膜形成[5]。本 研究中, 观察组患者CT平扫及增 强扫描的影像学表现与其基本一 致。

肾癌属于富血供肿瘤,肾皮质血流丰富,血流速度快,注入对比剂后动脉期呈明显强化;静脉期表现为"快进快退"的强化特点,认为肾髓质血流低、流速

慢,对比剂通过癌组织的时间短,强化程度减弱;静脉期强化程度减弱;静脉期强化程度进一步下降,对比剂大量进入肾盏,可清楚显示肾癌与肾盏的关系^[6]。本组研究中,动脉期、实质期CT值明显高于平扫(P<0.05),动脉期、实质期组间比较差异有统计学意义(P<0.05),与国内研究结果一致。刘再知时,知知知知,由于原至明显强化,密度低于正常组织密度。

研究报道, 手术是临床治疗 肾癌的有效手段, 术后复发转移 是影响肾癌患者预后的主要影 响[8]。因此,术前明确肿瘤分 期,可指导临床确定手术方案。 TNM分期是肾癌较为常用的病例分 期方式, T分期不同阶段肿瘤侵犯 范围、有无静脉系统癌栓等直接 影响疾病预后。本组研究中,CT 多期增强扫描诊断肾癌术前分期 的准确率89.58%, 与临床病理TNM 分期的一致性较高。王小松等^[9] 采用CT多期增强扫描肾癌分期的 总准确率为87.2%。本组研究中, 2例Ⅰ期高估为Ⅱ期,影像学中可 见肾周组织受侵; 2例Ⅱ期患者, 1例低估为Ⅰ期,1例高估为Ⅲ 期,可能与扫描参数有关;1例III 期低估为Ⅱ期,与未检测出肝转

并出血,与正常肾实质无清晰边界,易误诊。因该肿瘤成分以脂肪、平滑肌等为主,CT对脂肪的敏感性较高,增强扫描无明显强化^[11]。

综上所述,CT多期增强扫描 可了解肿瘤形态、大小、周围组 织受侵等情况,清楚显示增强扫 描不同时期肿瘤强化特点,不仅 有利于提高肿瘤诊断准确率,还 有利于明确肿瘤分期,指导临床 制定治疗方案。

参考文献

- [1] 袁新春. 肾细胞癌影像学诊断的应用现状及新进展[J]. 南昌大学学报(医学版), 2011, 51(4): 101-104.
- [2] 田志辉, 李芳, 邓会岩等. 原发性肾癌 肺转移32例报道[J]. 解放军医药杂志, 2015, 27(3): 66-68.
- [3] 马慧萍, 吴金华, 蒙萍等. 白杨素对大鼠急慢性脑缺血损伤后氧化应激和Nrf2/H0-1途径的影响[J]. 解放军医药, 2015, 27 (12): 9715-9720.
- [4] 王汉, 冯金艳, 袁智勇等. 螺旋CT在 小肾癌诊断中的应用[J]. 西部医 学, 2012, 24(12): 2417-2418.
- [5] 刘凯,曾自三.肾乏脂肪血管平滑肌脂肪瘤与肾癌亚型的CT鉴别诊断[J].中国CT和MRI杂志,2015,13(11):74-78.
- [6] 毛泽庆, 崔兰兰, 蒲竞等. 多层螺旋CT 增强扫描及后处理技术对肾癌及肾癌亚型的诊断价值[J]. 兰州大学学报(医学版), 2012, 38(2): 50-54.
- [7] 刘再强, 宋超, 王世平等. 多层螺旋CT 增强扫描结合三维成像对甲状腺常见病变的诊断[J]. 昆明医科大学学报, 2012, 33(10): 65-70.
- [8] 张艳红, 马社君, 王少芳等. 肾癌预后 影响因素的多因素回归分析[J]. 中 华实验外科杂志, 2015, 32(3): 638-
- [9] 王小松, 陈文华. 16层螺旋CT在肾癌术前诊断中的价值[J]. 江苏医药, 2011, 37(18): 2166-2168.
- [10] 葛芳清, 韩希年. 多层螺旋CT多期 扫描对早期肾盂癌的诊断价值[J]. 中国CT和MRI杂志, 2013, 11(3): 27-29.
- [11] 王寿明, 李豪胜. 多排螺旋CT 检查对乏脂肪肾血管平滑肌脂 肪瘤的诊断价值[J]. 重庆医 学, 2015, 44 (21): 2928-2930.

(本文编辑: 刘龙平)

【收稿日期】2016-10-18